

1 Exploratory Data Analysis

Vice informaci je k dispozici na webove adrese <https://yihui.name/knitr/options/>.

1.1 Nacteni dat

```
#setwd('/home/pgs/xbendovav/cox')
setwd('C:/Disk D/ND-Skola/02-Vyuka/06-Statistická inference II 2017/17-05-16')
data      <- read.delim('15-anova-means-skull.txt', stringsAsFactors=F)
data      <- na.omit(data)
data$upface_cat <- car::recode(data$upface.H, " lo:70=1; 70.001:hi=2")

head(data)

  id pop sex upface.H upface_cat
1  1 nem   m     73        2
2  2 nem   m     73        2
3  3 nem   m     67        1
4  4 nem   m     75        2
5  5 nem   m     70        1
6  6 nem   m     62        1

dim(data)
[1] 163   5
```

1.2 Tabulky

	m	s	med	q1	q3
malajska	70.1304	4.9525	70.0000	67.0000	73.0000
peruanska	70.6136	4.1102	70.0000	67.7500	74.0000

Tabulka 1: Tabulka základních charakteristik

Z tabulky zakladnich charakteristik 1 vidime, ze vyska horni casti tvare malajske populace je mirne nizsi nez vyska horni casti tvare peruaanske populace.

	\bar{x}	s	$x_{0.5}$	$x_{0.25}$	$x_{0.75}$
malajska	70.1304	4.9525	70.0000	67.0000	73.0000
peruanska	70.6136	4.1102	70.0000	67.7500	74.0000

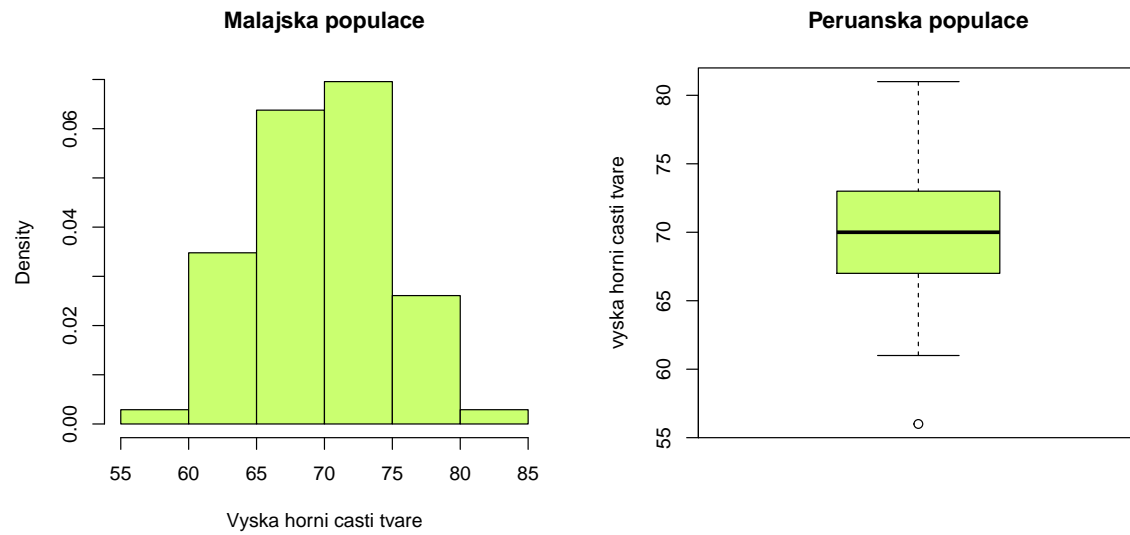
Tabulka 2: Tabulka základních charakteristik

Z tabulky 2 vidime, ze smerodatna odchylka vysky horni casti tvare malajske populace je mirne vyssi nez smerodatna odchylka vysky horni casti tvare peruaanske populace.

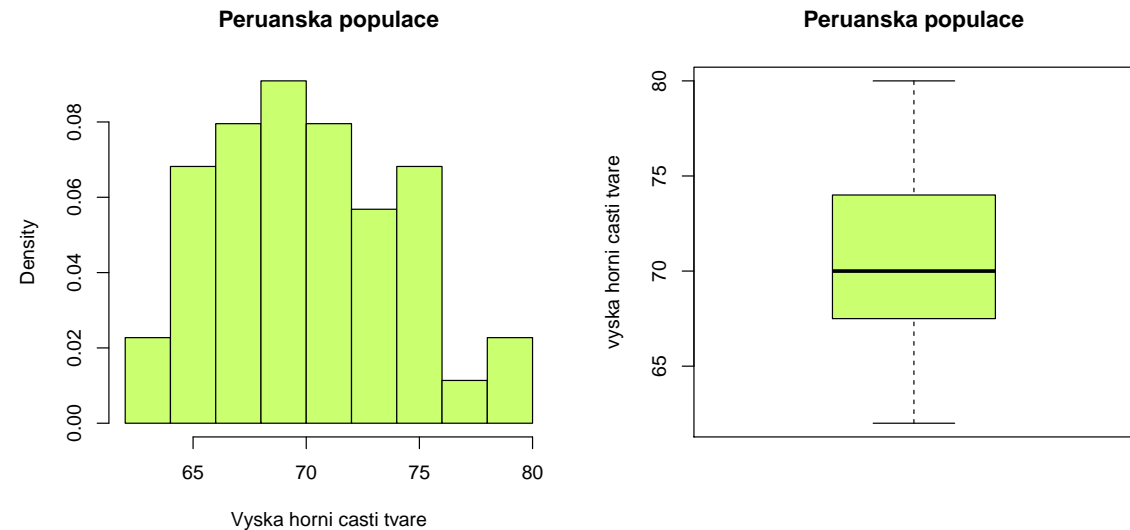
populace	kategorie		\sum
	≤ 70	> 70	
malajska	35	34	69
peruanska	23	21	44
\sum	58	55	113

Tabulka 3: Kontingencni tabulka absolutnich ctnosti

1.3 Grafy, obrázky



Obrázek 1: Vyska horni casti tvare – malajska populace



Obrázek 2: Vyska horni casti tvare – peruanska populace

Z obrazku 1 a 2 je videt, ze rozdeleni horni vysky tvare malajske populace je blize normalnimu rozdeleni nez rozdeleni horni vysky tvare perúanske populace.

1.4 Animace

```
like <- function(x,N,p){  
  like <- p^x*(1-p)^N  
  return(like)  
}  
  
monotonnost <- function(N, p1, p2){  
  x <- seq(0:N)  
  L <- like(x, N, p2)/like(x, N, p1)  
  
  plot(x, L, type='l', ylab='', main='', col='red', lwd=2)  
  mtext(expression(L(p[1],x)/L(p[2],x)), side=2, line=2.5)  
  mtext('Monotonni pomer verohodnosti', side=3, line=1.5, font = 2)  
  mtext(paste('N=', N, '; p1=', p1, '; p2=', p2, sep=''), line=0.4, cex=0.8)  
}  
  
p2 <- 0.5  
p1 <- seq(p2-0.01, 0.01, by=-0.01)  
  
for (j in 1:length(p1)) {  
  monotonnost(20, p1[j],p2)  
}
```

Obrázek 3: Monotonni pomer verohodnosti

Na obrazku 3 je zachycena monotonnost pomeru verohodnosti pro $X \sim \text{Bin}(N, p)$.

1.5 Mnohonásobné generovani tabulek:

populace	kategorie		\sum
	≤ 70	> 70	
malajská	35	34	69
nemecká	6	13	19
\sum	41	47	88

Tabuľka 4: Kontingenčná tabuľka absolútnej četnosti – malajská a nemecká populácia

populace	kategorie		\sum
	≤ 70	> 70	
malajská	8	5	13
cínska	35	34	69
\sum	43	39	82

Tabuľka 5: Kontingenčná tabuľka absolútnej četnosti – malajská a cínska populácia

populace	kategorie		\sum
	≤ 70	> 70	
malajská	7	11	18
bantuská	35	34	69
\sum	42	45	87

Tabuľka 6: Kontingenčná tabuľka absolútnej četnosti – malajská a bantuská populácia

populace	kategorie		\sum
	≤ 70	> 70	
peruánska	6	13	19
nemecká	23	21	44
\sum	29	34	63

Tabuľka 7: Kontingenčná tabuľka absolútnej četnosti – peruánska a nemecká populácia

populace	kategorie		\sum
	≤ 70	> 70	
peruánska	8	5	13
cínska	23	21	44
\sum	31	26	57

Tabuľka 8: Kontingenčná tabuľka absolútnej četnosti – peruánska a cínska populácia

populace	kategorie		\sum
	≤ 70	> 70	
peruánska	7	11	18
bantuská	23	21	44
\sum	30	32	62

Tabuľka 9: Kontingenčná tabuľka absolútnej četnosti – peruánska a bantuská populácia

1.6 Mnohonásobné generovani grafu:

